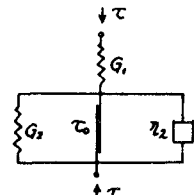


圧密が粘土の粒子構造におよぼす影響
(圧密と弾性係数および降伏値との関係)

京都大学防災研究所 正員 村山朔郎

1. 今までの成果

既往の粘土が圧密や破壊をうけた応力状態のもとでは、粘土骨格に生ずるせん断変形特性は、構成粒子の微視的変形より合成されるとして統計学的に処理して次の結果⁽¹⁾を得た。〔1〕粒子構造が破壊しない主応力差の限度は降伏値として τ_0 で示される。〔2〕粘土骨格のレオロジー特性は図-1の力学模型 (G_1 : 構成粘性, τ_0 : 内部摩擦力) で示される。〔3〕図-1中のせん断弾性要素 G_1 , G_2 は“粒子間の弾性係数” c から誘導され、次式で示される。式中, λ_1 , λ_2 , β_2 , C はすべて定数。



$$G_1 = C/c \lambda_1, \quad G_2 = C/c \lambda_2 \beta_2 \quad (1)$$

〔4〕粘土に外圧として主応力差 τ が加えられたとき粒子に生ずる力を f とし、 f のために粒子間距離は Δ だけ変化する。 Δ のために粒子間で安定していくため引力と反発力の平衡が破られ、粒子をもとの位置に回復させようとする。 Δ の小さいときはこの回復力は変形に比例するすれば外力 f と回復力との関係は次式で示される。

$$f = c \cdot \Delta \lambda / \lambda \quad (2)$$

上式中の比例係数 c を粒子間の弾性係数と仮称する。〔5〕三軸応力下のクリープひずみ ε は、変形が終局に近い部分以外では、図-1の力学模型を解いて次式で示される。

$$\varepsilon = \frac{\sigma}{E_1} + \frac{\sigma - \sigma_0}{E_2} + \frac{\sigma - \sigma_0}{B_2 E_2} \log (A_{2\gamma} \cdot B_2 \cdot E_2 \cdot t), \quad \frac{d\varepsilon}{d \log t} = \frac{\sigma - \sigma_0}{B_2 E_2} \quad (3)$$

ここで、 E_1 , E_2 は G_1 , G_2 より誘導したヤング係数で $E_1/G_1 = E_2/G_2$, $A_{2\gamma}$, B_2 はレオロジー常数, t は時間である。

2. 圧密がおよぼす要素諸元の影響

粘土が圧密応力 σ_m (平均主応力で示す) によつて安定に達したときの粒子間距離入は、加圧がDebyeの理論によるとよく粒子帶電の斥力とつりあうとして Salas と Serratosa⁽²⁾ は次の関係を与えている。

$$\sigma_m = A'_m \cdot \exp (-K \cdot \lambda) \quad (4)$$

一方、粘土を等方圧密したとき、圧密圧力 σ_m 、圧縮強度 G_3 、上限降伏値 σ_u と含水比 w との関係は図-2 のようになり、各線は半対数紙上で互に平行となる。改に圧縮指数を C_c とすれば σ_m , σ_u は

$$\sigma_m = A_m \cdot \exp (-2.3 w/C_c), \quad \sigma_u = A_u \cdot \exp (-2.3 w/C_c) \quad (5)$$

(4), (5)両式より、 $A_m = A'_m$, $K\lambda = 2.3 w/C_c$ となり、 σ_m , σ_u は次式で示される。

$$\sigma_m = A_m \cdot \exp (-K\lambda), \quad \sigma_u = A_u \cdot \exp (-K\lambda) \quad (6)$$

粘土の圧密は非可逆現象であるから、圧密による粒子間距離の短縮は圧密応力 σ_m が先行圧密応力 σ_{mc} よりも大きい場合には発生する。 σ_{mc} における σ_u , λ の値をそれから σ_{uc} , λ_c と記せば、

$$\sigma_m > \sigma_{mc} \text{ では}, \quad \sigma_u / \sigma_{uc} = \sigma_m / \sigma_{mc} = \exp \{-K(\lambda - \lambda_c)\} \quad (7)$$

また Salas と Serratosa は、安定状態の粘土粒子にせ引力と斥力が平衡し、前者は Van der Waal 力で $\propto \lambda^6$ に比例する力として、後者は電荷の斥力として $\exp(-K\lambda)$ に比例する力で示されるとした。故に

$$W\lambda^6 = K_s \cdot \exp(-K\lambda) \quad (\equiv f_s) \quad (\text{ここで } W, K_s \text{ は常数}) \quad (8)$$

故に粒子に外力 f が与えられたときのつり合いは次式で与えられる。

$$f + W(\lambda - d\lambda)^{-6} = K_s \cdot \exp\{-K(\lambda - d\lambda)\}$$

上式を Taylor 展開して微少な高次の項を無視し、 $f/(d\lambda/\lambda) (= e)$ を算出すると次式が得られる。

$$e = (f/(d\lambda/\lambda)) = [K_s \cdot \exp(-K\lambda)] \cdot \{K\lambda - 6\}$$

これに (6) 式を代入して。

$$e/\sigma_m = (K_s/A_m)(K\lambda - 6) \quad (9)$$

同様に、 λ_c の粒子間隔の粘土の e を e_c とすれば、

$$e_c/\sigma_m = K_s/A_m(K\lambda_c - 6) \quad (10)$$

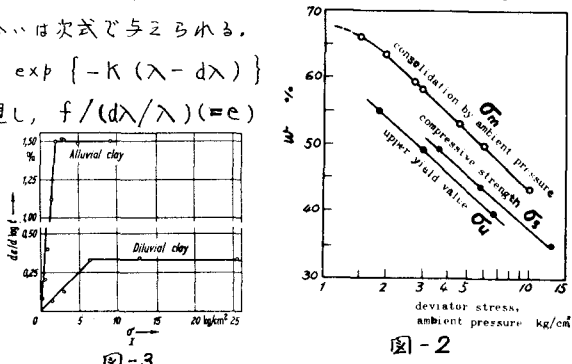


図-3

図-2

$$(7), (8), (9), (10) \text{ 式より}, \quad e = \{(\sigma_m/\sigma_{mc}) - (f_s/e_c) \log(\sigma_m/\sigma_{mc})\} e_c \quad (11)$$

上式右辺において、 $\log(\sigma_m/\sigma_{mc})$ は $\sigma_m/\sigma_{mc} (> 1)$ に比べて非常に小さく、また (f_s/e_c) はひずみのオーダーの数で小さな数と考えられるので、右辺第2項を第1項に比べて無視すると、過圧密領域 ($\sigma_m > \sigma_{mc}$) では、 $e = (\sigma_m/\sigma_{mc}) \cdot e_c \quad (12)$

通常の圧密試験は一種の側方拘束の3軸圧縮試験である。圧密平衡時の静止土圧係数 K_0 は Bishop のように粘土の種類が決まれば一定値とみられるから圧密軸圧力を σ_I で示せば、試料に加わる平均主応力 σ_m 、主応力差 σ はそれぞれ $\sigma_m = (1+2K_0)\sigma_I$, $\sigma = (1-K_0)\sigma_I \equiv \mu\sigma_I$ で示される。 σ_{Ic} の先行圧密応力をもつ粘土を圧密する場合、前述したように、圧密応力 σ_I が σ_{Ic} より小さく ($\sigma_I < \sigma_{Ic}$: 過圧密状態) ときは粘土の弾性、降伏値などの値には変化がない。一方 σ_I が $\sigma_{Ic} < \sigma_I$ (正常圧密状態) のときは弾性、降伏値などの値は増加し、その関係は 1. [3], 1. [5] の関係および (12) 式より次式の関係が得られる。すなはち $\sigma_I > \sigma_{Ic}$ の場合には、

$$\frac{\sigma_I}{\sigma_{Ic}} = \frac{\sigma_m}{\sigma_{mc}} = \frac{\sigma_u}{\sigma_{uc}} = \frac{\sigma_m}{\sigma_{mc}} = \frac{\sigma_I}{\sigma_{Ic}} \quad (\text{ここで添字 } c \text{ を付した値は } \sigma_{Ic} \text{ の}) \quad (13)$$

先行荷重をもつ粘土の諸元の値。

2次圧密は脱水圧密を終了した粘土に生ずるクリープであると考えられるので、上述の成果の妥当性を正常圧密領域 ($\sigma_I < \sigma_{Ic}$) と過圧密領域 ($\sigma_I > \sigma_{Ic}$) における2次圧密速度の実験で検照する。

(a) 正常圧密領域： この領域では弾性係数に変化がないから (3) 式の E_2 , σ に E_{2c} , $\mu\sigma_I$ を代入して、

$$\frac{de}{d\log t} = \frac{\mu\sigma_I - \sigma_0}{B_2 E_{2c}} \div \frac{\mu}{B_2 E_{2c}} \sigma_I \quad (\sigma_0 \text{ は } \sigma_{Ic} \text{ に比べて小}) \quad (14)$$

(b) 過圧密領域： この領域では (3) 式の E_2 , σ に (13) 式の E_2 , $\mu\sigma_I$ を代入して、

$$\frac{de}{d\log t} = \frac{\mu\sigma_I - \sigma_0}{B_2 E_2} \div \frac{\mu\sigma_I}{B_2 E_2} = \frac{\mu\sigma_I}{B_2 E_{2c}} \cdot \frac{\sigma_{Ic}}{\sigma_I} = \frac{\mu}{B_2 E_{2c}} \sigma_{Ic} = \text{const} \quad (15)$$

図-3 は2次圧密速度の実験結果⁽³⁾であるが、 $\sigma_I < \sigma_{Ic}$ では $de/d\log t$ は (14) 式のよう σ_I に比例し、 $\sigma_I > \sigma_{Ic}$ では (15) 式のように σ_I に無関係に一定となり、理論の妥当性が検照された。

引用文献： (1) 村山勘郎： 材料，14巻，139号，昭40.4，pp.282-288. (2) Salas, J.A.T., & J.M. Serratosa : Proc. 3rd Int. Conf. S.M.F.E. Vol. 1, 1953, pp.172-198 (3) 柴田徹： 土管論文集 6/5 号.35.7, pp.29-37.